

담배잎의 老化過程에 따른 蛋白質의 生化學的 變化

李相珏* · 沈相仁* · 姜炳華*

Biochemical Changes of Protein during the Senescence of Tobacco Leaf

Sang Gak Lee*, Sang In Shim* and Byeung Ho Kang*

ABSTRACT: This experiment was conducted to obtain basic information of biochemical changes in the process of senescence by measuring the total RNA, protein, protease activity and electrophoretic pattern of protein in tobacco plant. The content of soluble protein increased by 15 days after leaf emergence and its level was not changed from 15 to 35 days after leaf emergence. The content of total RNA showed a maximum value at 15 days after leaf emergence and then decreased rapidly until 30 days after leaf emergence. The activity of protease of neutral fraction was higher than that of acidic fraction and rapidly increased up to the end of senescence after 50 days after leaf emergence. According to the analysis of electrophoresis, poly-peptide band of 61kd was developed after 35 days after leaf emergence and increased by the end of senescence.

Key words : RNA, Protease activity, Protein, Senescence, *Nicotiana tabacum*.

植物의 老化(senescence)는 外部 環境과 生體 内部의 遺傳子 調節에 의해서 일어나는 현상으로 다양한 細胞內의 遺傳子는 老化에 접어듦에 따라 老化에 관련된 酵素의 合成을 支配하고 酵素는 다시 細胞의 化學反應을 調節하여 器官이나 個體는 活力を 貧失하게 된다^{2,8,9)}. 담배의 老化는 下位葉에서 上位葉으로 진행하는 漸進的 老化型으로서 經時的인 葉齡(aging)의 進行이 일어난 細胞에서 生命維持에 필요한 遺傳子의 發現이 정지된 소극적인 죽음이 아니라 생활사의 최종 단계에 들어가기 위하여 계획된 遺傳子의 發現을 통한 적극적인 과정으로 진행된다^{5,8)}. 老化 現狀과 관련되어 잎은 葉綠素崩壊, 色素의 變化, 高分子 物質의 分解 등과 같은 生化學的인 變化를 수반한다^{3,4,7)}. 細胞

質內 리보오좀 및 葉綠體 리보오좀에서 合成된 蛋白質은 植物生理에 중요한 기능을 담당하고 分解되며 필요에 따라 再合成되어 細胞小器官으로 分配되며 合成된 蛋白質의 소멸되는 時間은 蛋白質種類에 따라 다르지만 約5日에서 8日 정도이다. 蛋白質 分解는 蛋白質 分解酵素의 活性이 증가하여 일어나는 것으로서 pH, 溫度 및 光 등 여러 가지 複合的 要因이 관여한다^{1,6,10,12,13)}.

담배는 잎이라는 營養器官을 收穫하는 作物로서 老化가 進行되는 過程에서 일어나는 蛋白質 合成과 分解는 酵素活性, 同化物質의 轉流 및 代謝作用에 크게 영향을 미치며 그 정도의 차이는 收量과 品質에 막대한 영향을 준다⁷⁾.

본 실험은 담배의 全生育期間 中 葉齡이 증가

* 고려대학교 자연자원대학 식량자원학과(Dept. of Agronomy, College of Natural Resources, Korea Univ., Seoul 136-701, Korea)
<'96. 7. 8 接受>

됨에 따라 植物體內에서 일어나는 蛋白質 合成과 分解가 老化機作 및 酵素活性에 미치는 生化學의 인 變化를 파악하여 老化研究에 필요한 기초 자료를 제공하고자 실시하였다.

材料 및 方法

本 實驗의 供試品種은 黃色種 담배(*Nicotiana tabacum* L. cv. NC82)로서 5월 2일에 京畿道 德沼에 위치한 高麗大學校 自然資源大學 附屬農場圃場에 移植하여 改良 멀칭 標準栽培法에 준하여 摘芯 없이 栽培하였다. 試驗土壤은 pH 6.72, CEC 10.25me /100g, 全窒素含量 0.09%, 磷酸含量 26.53ppm, 有機化合物 1.37%의 微沙質壤土였다. 分析試料는 各植物當葉位가 12 번째인 中位葉을 出葉 10일부터 5일 간격으로 12회 採取한 후 分析時까지 -70°C의 초저온고에 보관하여 사용하였다. 出葉日의 計算은 肉眼으로 잎의 出現을 감지할 수 있는 시기(잎의 크기가 0.5cm 이상)를 出葉日로 잡고 이 기간으로부터 葉의 生育期間을 算出하였다. 總 RNA의 含量은 Rogers¹¹⁾의 방법에 따라 抽出한 다음 260 nm의 吸光度를 調查하여 含量을 算出하였다. Protease의 活性은 酸性 protease(pH 4.0)와 中性 protease(pH 7.8)分劃을 각각 分離하여 活性度를 測定하였다¹²⁾. 抽出은 生葉 1g에 抽出溶液{Tris-HCl, 0.2%(w/v) ascorbic acid, pH 8.0} 5.5ml을 가하여 15,000g에서 15분간 30,000g에서 30분간 遠心分離한 後 上澄液을 緩衝溶液(10mM Tris-HCl, 3.5% NaCl, 0.1% mercaptoethanol, pH 7.0)에 24시간 透析한 후, 遠心分離하여 上澄液을 protease活性度 測定에 사용되었다. Protease活性度는 0.2M phosphate-citrate buffer (pH 4.0)와 0.2M Tris-HCl buffer (pH 7.8)을 酸性과 中性分劃의活性을 보기 위하여 이용하였다. 反應溶液을 각 pH별 緩衝液 4ml과 1ml의 蒸溜水, 2ml의 酵素溶液을 40°C에서 섞은 후 0, 60, 120분간 진탕恒온수조에서 反應을 시킨 후, 시료당 1.75ml를 채취하여, 40%(w/v) trichloroacetic acid(TCA) 0.25ml을 가해서 2°C에서 4시간 放置后,

15분간 5,000g에서 遠心分離한 後, 上澄液을 ninhydrin法에 따라 유리아미노산을 구하였다. Protease活性度는 g당 1시간에 反應하는 아미노산의 nmoles로 나타냈고 標準物質은 glycine을 사용하였다. 可溶性蛋白質의 含量은 BSA(bovine serum albumin)를 標準物質로 하여 CBB(Coomassie brilliant blue G-250)에 의한 發色法을 이용하여 정량하였다. 1次元 電氣泳動을 위한蛋白質抽出 및 精製는 總蛋白質을抽出하는 方법으로 生葉 5g을 液體窒素에 넣고 抽出溶液[30mM Tris(pH 8.7), 1mM ascorbic acid, 5mM MgCl₂, 1mM EDTA, 1mM DDT, 0.5% PVP]을 가한 후 마쇄하여 4°C에서 33,000g로 15분 遠心分離한 後 上澄液만 抽出하였다. 0.07% 2-mercaptoethanol를 함유한 냉각 아세톤을 上澄液의 4배에 해당하는 양을 처리하여 -20°C에서 1시간沈澱시킨 後 33,000g에서 10분간 遠心分離하여 精製하였다. 20 μg정도의 蛋白質을 含有한 試料는 sample buffer [60mM Tris(pH 6.8), 10% glycerol, 2% SDS, 5% 2-mercaptoethanol, bromophenol blue]에 1:2로 稀釋시킨 後 電氣泳動에 사용하였다. 1次元 電氣泳動은 SDS-PAGE로 실시하였고 染色은 silver staining法을 사용하였다. 각 バンド의 有無는 肉眼觀察과 fluoro-densitogram에 나타난 peak와 서로 比較分析하였다.

結果 및 考察

生育段階別 12번째 잎의 可溶性蛋白質과 總RNA含量의 變化는 그림 1과 같다. 可溶性蛋白質의 含量 變化는 잎이 出葉 後 15일까지 增加하였고 出葉 後 15일에서 35일까지는 生育過程에 따라 일정한 含量를 維持하다가 葉齡이 경과될수록 감소하는 것으로 나타났다. 老化末期인 出葉 後 55일에서 60일 사이에 蛋白質이 급격히 줄어드는 것은 잎의 代謝가 크게 低下되어 葉內 可溶性蛋白質이 分解되어 他器官으로 移動되었기 때문으로 사료된다. 總 RNA含量의 變化는 出葉 後 10일부터 증가하다가 出葉 後 15일에 최대치에 이른

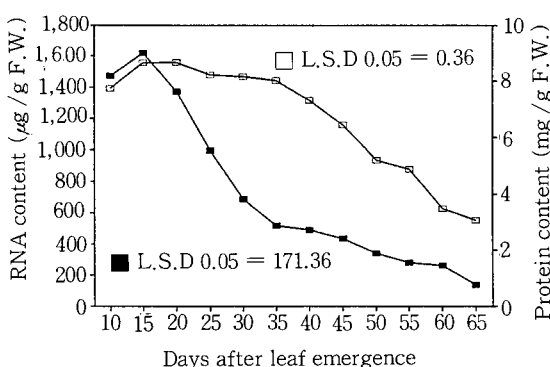


Fig. 1. Changes in amount of protein and total RNA content in the 12th leaf of tobacco plant according to the leaf development. ■ : RNA, □ : protein.

后出葉後 30일까지 급격히減少하였으며 35일부터 60일까지減少幅이 적었다. 出葉後 65일까지는 92% 이상이 감소하였다. 可溶性蛋白質과 RNA의含量은 가시적 잎의老化와는 시기적 불일치를 보였다.

老化에 있어서 가장 중요한酵素인 protease活性의變化는 그림 2에 나타나 있다. Protease活性은基質을內生基質로 사용했을 때의 결과로서酸性protease(pH 4.0)와中性protease

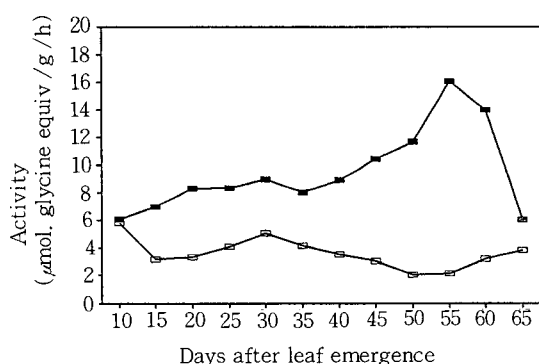


Fig. 2. Changes in activities of acid and neutral protease estimated using soluble proteins contained in the extracts as the substrate in the 12th leaf of tobacco plant according to the leaf development. ■ : neutral protease (pH 7.8), □ : acidic protease (pH 4.0).

(pH 7.8)의活性度를 나타내 주고 있다. Protease活性度는 pH 4.0과 pH 7.8 사이에 담배잎 자체의酵素液에 존재하는可溶性蛋白質을基質로 사용할 경우에는酸性protease보다中性protease의活性이 높았고, 酸性protease活性은老化末期까지 비교적 일정하게 유지되었으며, 특히中性protease는蛋白質의分解가 진행될수록活性이 증가하다가光合成등葉內代謝가정지될무렵에이르러그活性減少가일어났다^{7,13)}. 酸性分割과中性分割protease의活性중葉內蛋白質의含量과관련지워생각해볼때中性protease의活性이葉內蛋白質의活性에 중요한역할을하는것으로사료되며, 이것은담배잎의老化에따라protease의de novo合成이진행되어老化된잎의蛋白質을分解해새로발생하는잎이나花芽등으로轉流가일어나는것으로보인다. 또

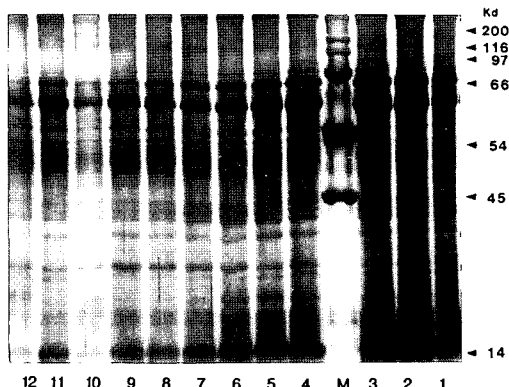


Fig. 3. SDS-polyacrylamide gel electrophoresis of total proteins extracted from the 12th leaf of tobacco plant according to the leaf development. Gel was stained by silver staining method. Estimated molecular weight in kilodalton are listed at right. Numbers indicated sampling time as following : 1 : 10 DAE, 2 : 15 DAE, 3 : 20 DAE, M : high molecular weight marker, 4 : 25 DAE, 5 : 30 DAE, 6 : 35 DAE, 7 : 40 DAE, 8 : 45 DAE, 9 : 50 DAE, 10 : 55 DAE, 11 : 60 DAE, 12 : 65 DAE. (DAE : Days after leaf emergence).

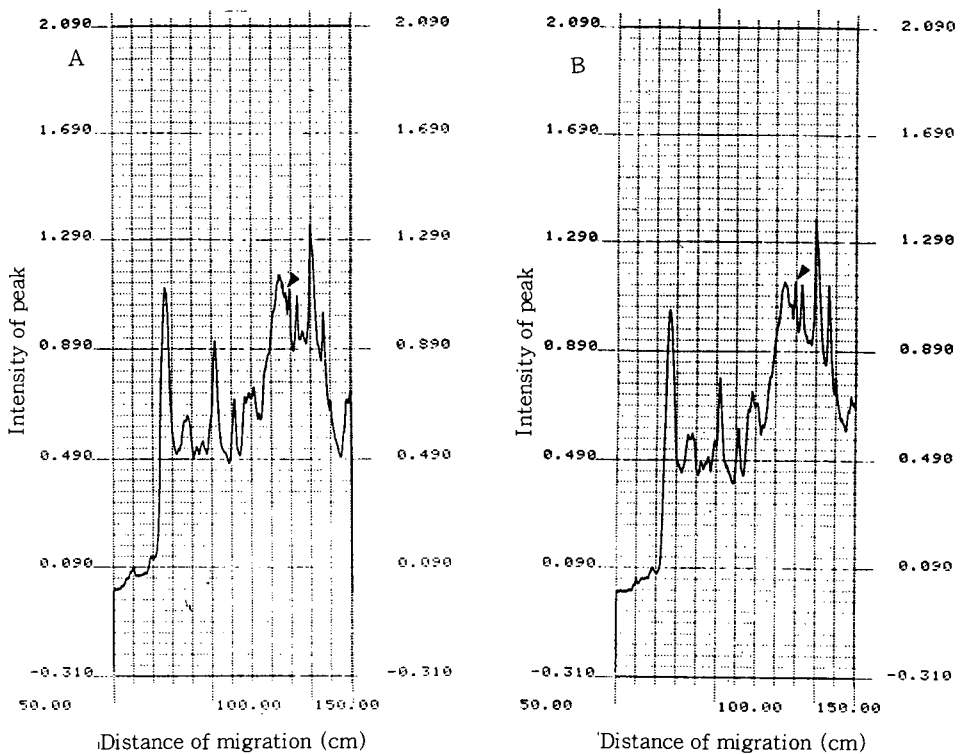


Fig. 4. Typical fluorodensitogram of the polypeptides separated by SDS-PAGE. Polypeptides were induced by the 12th leaf of tobacco plant according to the leaf development. A : 35 days after leaf emergence. B : 45 days after leaf emergence.

한 酸性과 中性 protease의 活性의 차이가 나는 것은 protease의 區劃化(compartmentation)의 차이에 기인된 것으로 추정되며, 液胞內 protease보다 細胞質內 protease가 잎의 老化에 직접적으로 관여하는 것으로 사료된다. 담배 葉內에 가장 많은 부분을 차지하는 蛋白質인 ribulose bisphosphate carboxylase/oxygenase(Rubisco)의 變化 樣相(그림 3)에 대한 결과와 비교할 때 出葉 後 40일경부터 그活力이 증가하는 protease活性과 Rubisco 量의 減少 樣相이 거의 일치하여 中性 protease의 活性 증가가 담배 葉內代謝의 低下를 가져오는 것으로 사료된다^{7,10)}.

즉 老化 過程 중 일어나는 蛋白質의 分解는 液胞에 위치하는 protease의 活性에 의해 좌우된다기 보다는 細胞質에서 새로이 合成되는 protease가 영향을 미친다고 볼 수 있다. 酸性 protease인

液胞內의 protease는 지속적으로 活性이 유지되는 것으로 보아 液胞內의 protease는 잎의 老化와 관계없이 단순히 불필요한 蛋白質의 分解에만 관여하는 것으로 사료된다.

그림 3은 잎의 일생에 있어 總蛋白質의 電氣泳動 樣相을 나타낸 그림이다. 잎의 葉齡에 따른 蛋白質 밴드의 변화는 잎의 老化가 진행됨에 따라 蛋白質 밴드의 수는 거의 可視的으로 확인할 수 있는 변화가 없었으나 量的인 減少는 확인할 수 있었다.

그림 4는 電氣泳動의 결과를 fluoro-densitogram으로 나타낸 것으로 polypeptide 밴드의 樣相은 달라졌는데, 특히 61kd의 밴드가 出葉 後 35일부터 生成된 것을 확인할 수 있었다. 이러한 결과는 귀리의 老化過程 중 2次元 電氣泳動 分析을 통한 몇 가지 polypeptide가 合成되었고, 이 중

67kd의 비교적 高分子의 polypeptide가 合成된다는 보고⁴⁾를 고려할 때 老化過程 중 특이적으로 合成되는 polypeptide가 있으며 담배의 경우는 61kd의 polypeptide가 老化過程에서 特異的으로 合成되는 것으로 사료되며 이 polypeptide에 대해서는 앞으로 特性 確因이 요구된다.

이상의 結果를 토대로 고려해 볼 때 葉出現으로부터 잎이 老化할 때까지 葉內의 蛋白質 含量은 새로이 合成되어지는 量과 蛋白質 分解過程에 의해 分解되어지는 量 사이의 관계에 의해 量이 결정된다고 볼 수 있다. 葉 蛋白質의 含量은 蛋白質 分解過程에 관여하는 protease 中 液胞內 protease보다는 細胞質內 protease의 活性에 의해 그 含量이 영향을 받는 것으로 사료된다. 잎의 老化는 溫度와 日長을 비롯한 環境 및 cytokinin과 같은 植物生長調節劑의 영향을 받으므로 이들과 葉內 protease 活性間의 관계에 대한 연구가 앞으로 요망되어진다.

摘要

담배 生育段階別 RNA, protease 活性度와 蛋白質 波動의 變化를 파악하여 老化가 진행되는 過程에서 生理·生化學의 變化의 基礎資料를 얻고자 본 실험을 수행하였으며 결과는 다음과 같다. 可溶性 蛋白質 含量은 出葉後 15일까지 增加하여 出葉後 35일까지 일정하게 維持하였다. 總 RNA 含量은 出葉後 15일에 가장 높았으며 出葉後 30일까지 급격한 減少를 보였다. Protease 活性 變化는 中性 protease(pH 7.8)가 活性이 높았으며 老化末期인 出葉後 50일부터 갑자기 증가하였다. 電氣泳動 波動은 큰 변화가 없었으나 61.0 kd의 polypeptide은 出葉後 35일부터 生成되어 老化末期까지 증가하였다.

引用文獻

- Cuello, J., M. J. Quiles and B. Sabater. 1984. Role of protein synthesis and light in the regulation of senescence in detached barley leaves. *Physiol. Plant.* 60:133-138.
- Goldberg, A. L., and St. A. John. 1989. Protein degradation. *The Biochemistry of Plants*. Vol. 15, Molecular biology. Academic press, New York. pp.521-533.
- Kang, S. M., H. Matsui and J. S. Titus. 1982. Characteristics and activity changes of proteolytic enzymes in apple leaves during autumnal senescence. *Plant Physiol.* 70:1367-1372.
- Klerk, H., S. Tophof and L. C. Van Loon. 1992. Synthesis of proteins during the development of the first leaf of oat (*Avena sativa*). *Physiol. Plant.* 85:595-605.
- Krul, W. R. 1974. Nucleic acid and protein metabolism of senescent and regenerating soybean cotyledons. *Plant Physiol.* 54:36-40.
- Lamattina, L., R. P. Lezica and R. D. Conde. 1985. Protein metabolism in senescent wheat leaves. *Plant Physiol.* 77:587-590.
- Lee, S. G., S. I. Shim, and B. H. Kang. 1995. Changes in photosynthetic rate and protein content in the leaf during the senescence of tobacco plant (*Nicotiana tabacum* L.). *J. Kor. Soc. Tob. Sci.* 17:20-26.
- Nooden, L. D. and A. C. Leopold. 1988. *Senescence and aging in plants*. Academic Press, pp 2-171.
- Schuster, A. M. and E. Davis. 1983. Ribonucleic acid and protein metabolism in pea epicotyls. *Plant Physiol.* 73:809-816.
- Peterson, L. W. and R. C. Huffaker. 1975. Loss of ribulose 1,5-diphosphate carboxylase and increase in proteolytic activity during senescence of detached primary barley leaves. *Plant Physiol.* 55:

- 1009-1015.
11. Rogers, S. O. and A. J. Bendich. 1988. Plant molecular biology manual. Kluwer Academic Publisher A6:1-10.
 12. Van Loon, L. C., H. C. P. M. Van Der Valk, A. J. Havercort and G. L. Lokhorst. 1987. Changes in protease activity in leaves during natural development and accelerated aging upon detachment. *J. Plant Physiol.* 127:339-353.
 13. Wittenbach, V. A., R. C. Ackerson, R. T. Giaquinta and R. R. Hebert. 1980. Changes in photosynthesis, ribulose bisphosphate carboxylase, proteolytic activity and ultrastructure of soybean leaves during senescence. *Crop Sci.* 20:225-231.